

**Review Hidrolika Bendung Dan Groundsill
Sungai Cipamingkis Kabupaten Bogor Menggunakan HEC-RAS**
Review of Weir and Groundsill Hydraulics

Cipamingkis River, Bogor Regency Using HEC-RAS

Atik Larasati¹⁾, Ilanka Cahya Dewi²⁾, Totok Dwi Kuryanto³⁾

Mahasiswa Program Studi Teknik Sipil, Fakultas Teknik, Universitas Muhammadiyah Jember

Email : Atiklaras99@gmail.com¹

Dosen Program Studi Teknik Sipil, Fakultas Teknik, Universitas Muhammadiyah Jember

Email : Ilankacahya@unmuhjember.ac.id²

Dosen Program Studi Teknik Sipil, Fakultas Teknik, Universitas Muhammadiyah Jember

Email : totok@unmuhjember.ac.id³

Abstrak

Bendung Cipamingkis merupakan bendung yang terletak di Sungai Cipamingkis. Sungai ini memiliki panjang kurang lebih 59,31 Km. Adanya bangunan air menyebabkan perubahan karakteristik aliran sungai sehingga mengakibatkan terjadinya degradasi dasar sungai yang ditandai dengan hilangnya lapisan dasar sungai yang berupa butiran kasar. Oleh karena itu perlu adanya pembangunan Groundsill pada sungai Cipamingkis sehingga dapat mengatasi permasalahan degradasi morfologi sungai di bagian hilirnya. Adapun analisis yang akan dilakukan meliputi analisa hidrologi menggunakan software HEC-HMS dan analisa muka air menggunakan software HEC-RAS. Berdasarkan hasil analisa perhitungan debit banjir di jadikan persentase dari 100% diperoleh debit banjir (Q) dengan metode HSS Nakayasu kala ulang 2 tahun, 5 tahun, 10 tahun, 25 tahun, 50 tahun berturut-turut adalah 19,7%, 15,8%, 14,6%, 13,8%, dan 13,4. Pemodelan HEC-HMS kala ulang 2 tahun, 5 tahun, 10 tahun, 25 tahun dan 50 tahun berturut-turut adalah 16%, 13,1%, 12%, 104%, dan 9%. Penampang hidrolika aliran dengan bantuan HEC-RAS diperoleh luapan banjir pada beberapa titik yaitu pada Sta. 18, 17, 16, 15, dan 14. Luapan banjir teparah terjadi pada Sta.18 yang mengalami limpasan dikedua sisi tebingnya dengan tebing kiri setinggi 2,62 m dan tebing kanan 3,62 m.

Kata Kunci : Debit Banjir, Groundsill, Bendung, Analisa Hidrolika, HEC-RAS

Abstract

Cipamingkis Dam is a weir located on the Cipamingkis River. This river has a length of approximately 59.31 km. The existence of water structures causes changes in river flow characteristics, resulting in degradation of the river bed, which is characterized by the loss of the river bed layer in the form of coarse grains. Therefore, it is necessary to construct a Groundsill on the Cipamingkis river so that it can overcome the problem of river morphology degradation in the downstream part. The analysis that will be carried out includes hydrological analysis using HEC-HMS software and water level analysis using HEC-RAS software. Based on the results of the analysis, the flood discharge calculation is made into a percentage of 100%, the flood discharge (Q) obtained using the Nakayasu HSS method for return periods of 2 years, 5 years, 10 years, 25 years, 50 years respectively is 19.7%, 15.8 %, 14.6%, 13.8%, and 13.4. HEC-HMS modeling return periods of 2 years, 5 years, 10 years, 25 years and 50 years are 16%, 13.1%, 12%, 104% and 9% respectively. The flow hydraulic cross section with the help of HEC-RAS was obtained by flood overflow at several points, namely at Sta. 18, 17, 16, 15, and 14. The worst flooding occurred at Sta. 18 which experienced runoff on both sides of the cliff with the left bank as high as 2.62 m and the right bank as high as 3.62 m.

Keywords: Flood Discharge, Groundsill, Weir, Hydraulic Analysis,HEC-RAS.

1. PENDAHULUAN

A. Latar Belakang

Sungai Cipamingkis terletak di Kabupaten Bogor dan Bekasi. Sungai ini memiliki panjang kurang lebih 59,31 Km dengan luas DAS ± 322,8 Km². Sungai ini mengalir dari arah selatan (Desa Warga Jaya, Kecamatan Jonggol, Kabupaten Bogor) menuju utara dan bermuara di Sungai Cibeet (Desa Pasirranji, Kecamatan Cibarusah, Kabupaten Bekasi).

Sungai ini mempunyai banyak anak sungai sehingga panjang sungai keseluruhan (Sungai Cipamingkis dan anak-anak sungainya) ± 541,88 km, dengan kerapatan sungai 1,88. Sungai ini banyak dimanfaatkan oleh penduduk untuk irigasi dan penambangan galian batu dan pasir.

Masyarakat setempat yang memanfaatkan material dasar sungai membawa dampak pada penurunan dasar sungai. Dan hal ini mengakibatkan terjadinya degradasi dasar sungai yang ditandai dengan hilangnya lapisan dasar sungai yang berupa butiran kasar, sedangkan lapisan bawah yang berupa lempung lunak sudah mulai tampak.

Maka dari itu Pembangunan Groundsill pada sungai Cipamingkis dapat mengatasi permasalahan degradasi morfologi sungai di bagian hilirnya. Sehingga, Tugas Akhir ini disusun untuk Mereview Hidrologi dan Hidrolika Bendung dan Groundsill di sungai Cipamingkis Kabupaten Bogor.

B. Rumusan Masalah

Maka rumusan masalah yang akan dibahas antara lain :

1. Bagaimana menghitung jumlah debit banjir di Sungai Cipamingkis menggunakan HSS Nakayasu dan HEC-HMS?
2. Bagaimana menganalisa profil muka air di Bendung Groundsill Sungai Cipamingkis dengan menggunakan HEC-RAS?

C. Tujuan

Dengan memperhatikan latar belakang dan permasalahan yang terjadi maka tujuan dari penelitian ini adalah :

1. Menghitung besaran debit andalan 80% disetiap DAS dengan menggunakan metode FJ. Mock dan HEC-HMS

2. Menghitung jumlah kebutuhan air disetiap Daerah Aliran Sungai (DAS) untuk saat ini dan tahun 2050
3. Menganalisa keseimbangan air dan tingkat kekritisan air disetiap Daerah Aliran Sungai

D. Manfaat

Adapun manfaat yang diharapkan dari penelitian ini adalah sebagai berikut :

1. Menghitung jumlah debit banjir di sungai Cipamingkis menggunakan HSS Nakayasu dan HEC-HMS.
2. Menganalisa profil muka air di Bendung Groundsill Sungai Cipamingkis dengan menggunakan HEC-RAS.

E. Batasan Masalah

Peneliti membatasi masalah yang akan dibahas dalam penelitian ini diantaranya sebagai berikut :

1. Tidak menganalisa RAB (Rencana Anggaran Biaya).
2. Tidak meneliti geologi tanah secara terperinci dan efek jenis lapisan tanah dibawah groundsill.
3. Data yang digunakan menggunakan data sekunder.
4. Menggunakan data curah hujan 15 tahun dari tahun 2007 sampai dengan 2021.
5. Menggunakan program bantu HEC-HMS dan HEC-RAS.
6. Tidak mendesign atau merencanakan ulang bendung dan groundsill

2. TINJAUAN PUSTAKA

A. Hidrologi

Analisa hidrologi merupakan langkah yang paling penting untuk menghitung potensi air yang ada pada daerah tertentu untuk dapat dimanfaatkan dan dikembangkan serta mengendalikan potensi air untuk kepentingan masyarakat disekitar daerah tertentu. Perhitungan hidrologi mencangkup perhitungan curah hujan, curah hujan wilayah dan debit.

B. Curah Hujan

Curah hujan rencana adalah curah hujan terbesar yang mungkin terjadi disuatu daerah pada periode ulang tertentu. ntuk mencari hujan

rerata aljabar dapat digunakan persamaan sebagai berikut:

$$R = \frac{1}{n} (R_1 + R_2 + \dots + R_n)$$

Dengan :

R = Curah hujan maksimum rata – rata

n = Jumlah stasiun pengamatan

R₁ = Curah hujan pada stasiun pengamatan 1

R₂ = Curah hujan pada stasiun pengamatan 2

R_n = Curah hujan pada stasiun pengamatan n

C. Analisa Frekuensi Curah Hujan

Metoda yang digunakan adalah Distribusi Log Pearson Tipe – III.

Langkah perhitungannya adalah sebagai berikut :

1) Mengubah data curah hujan sebanyak n buah X₁, X₂, X₃, ..., X_n menjadi log(X₁), log(X₂), log(X₃), ..., log(X_n).

2) Menghitung harga rata-ratanya dengan rumus :

$$\log \bar{X} = \frac{\sum_{i=1}^n \log(X_i)}{n}$$

Dengan :

$\log \bar{X}$ = Harga rata-rata logaritmik

X_i = Nilai curah hujan tiap-tiap

n = Jumlah data

3) Menghitung logaritma hujan rencana dengan period ulang T tahun dengan rumus

$$S = \frac{\sum_{i=1}^n \{ \log(X_i) - \log(\bar{X}) \}^2}{(n-1)}$$

Dengan :

S = Standar deviasi

4) Menghitung koefisien skewness (Cs) dengan rumus :

$$C_s = \frac{\sum_{i=1}^n \{ \log(X_i) - \log(\bar{X}) \}^2}{(n-1)(n-2)S^3}$$

Dengan :

C_s = Koefisien Skewness

5) Menghitung logaritma hujan rencana dengan periode ulang T tahun dengan rumus:

$$\log Y = \log \bar{X} + k \cdot S$$

$$X_t = 10^{(\log Y)}$$

Dengan :

X_t = Curah hujan rencana periode ulang T tahun

k = Harga diperoleh berdasarkan nilai Cs

S = Standar deviasi

D. Uji Keselarasan Distribusi Frekuensi Curah Hujan

a) Uji Chi-kuadrat (Chi-Square Test)

Uji Chi-kuadrat digunakan untuk menguji apakah distribusi pengamatan dapat disamai dengan baik oleh distribusi teoritis.

$$X^2 = \sum_{i=1}^k \frac{(E_i - O_i)^2}{E_i}$$

Dengan :

$$k = 1 + 3,22 \log n$$

O_i = Nilai yang diamati

E_i = Nilai yang diharapkan

Agar distribusi frekuensi yang dipilih dapat diterima, maka harga X² hitung < X²cr. Harga X²cr.

$$DK = JK - (\alpha + 1) \quad (2.16)$$

Dengan :

DK = Derajat kebebasan

JK = Jumlah kelas

α = Faktor keterikatan (untuk gumbel $\alpha=1$)

b) Uji Sirminov-Kolmogorof

pada proyek ini digunakan nilai kritis (significant level) $\alpha = 5\%$. Nilai kritis Δ untuk pengujian ini tergantung pada jumlah data dan α .

E. Debit Banjir Rencana

$$Q_p = \frac{C \times A \times R_0}{3,6 \times (0,3Tp + T_{0,3})}$$

Dengan :

Q_p = debit puncak banjir (m³/det)

R₀ = hujan satuan (mm)

T_p = tenggang waktu (time lag) dari permulaan hujan sampai puncak banjir (jam)

$$Tp = tg + 0,8 tr$$

T_g = waktu konsentrasi (jam), tenggang waktu dari titik berat hujan sampai titik berat hidrograf (time lag), dalam hal ino, jika :

$$L < 15 \text{ km } tg = 0,21 \times L^{0,7}$$

$$L > 15 \text{ km } tg = 0,4 + 0,058 \times L$$

T_r = tenggang waktu hidrograf (time base of hidrograf)

$$= 0,5 \text{ sampai } 1 \text{ tg}$$

$$T_{0,3} = \alpha \times tg$$

$$A = \frac{0,47 \times (A \cdot L)^{0,25}}{tg}$$

Keterangan :

- a) Daerah pengaliran bisa $\alpha = 2$
- b) Bagian naik hidrograf yang lambat dan bagian menurun yang cepat
 $\alpha = 1,5$
- c) Bagian naik hidrograf yang cepat dan bagian menurun yang lambat
 $\alpha = 3$

Bagian lengkung naik (rising limb) hidrograf satuan memiliki rumus :

$$Q_a = Q_p \times \left(\frac{t}{T_p} \right)^{\alpha}$$

Dengan :

Q_a = limpasan sebelum mencapai debit puncak (m^3/det)

T = waktu (jam)

Bagian lengkung turun (*decreasing limb*) hidrograf satuan

$$Q_{d1} = Q_p \times 0,3^{\frac{t-T_p}{T_p}}$$

$$Q_{d2} = Q_p \times 0,3^{\frac{t-T_p+0,5T_p}{1,5T_p}}$$

$$Q_{d3} = Q_p \times 0,3^{\frac{t-T_p+1,5T_p}{2T_p}}$$

F. Hidrograf

Hidrograf adalah kurva yang memberi hubungan antara parameter aliran, dan waktu, parameter tersebut bisa berupa kedalaman aliran (elevasi) atau debit aliran. Hidrograf menunjukkan tanggapan yang menyeluruh dari Daerah Aliran Sungai (DAS) terhadap masukan data hujan.

G. HEC-HMS

HEC-HMS singkatan dari Hydrologic Engineering Center-Hydrologic Modelling System adalah software yang dikembangkan oleh U.S Army Corps of Engineering. Software ini digunakan untuk analisa hidrologi dengan mensimulasikan proses curah hujan dan limpasan langsung (run off) dari sebuah wilayah sungai.

H. HEC-RAS

HEC-RAS adalah singkatan dari Hydraulic Engineering Center- River Analysis System. Program ini dibuat oleh Hydrologic Engineering Center (HEC) yang merupakan satu divisi dalam Institute for Water Resources, dibawah US (USAGE). HEC-RAS merupakan

model satu dimensi aliran permanen maupun tak permanen (steady and unsteady one dimensional flow model).

3. METODOLOGI PENELITIAN

A. Lokasi Penelitian

Penelitian ini dilaksanakan pada Bendung Cipamingkis yang terletak di Desa Jatinunggal, Kecamatan Jonggol, Kabupaten Bogor, Provinsi Jawa Barat. Sungai ini memiliki panjang kurang lebih 59,31 Km dengan luas DAS \pm 322,8 Km². Sungai ini mengalir dari arah selata (Desa Warga Jaya, Kecamatan Jonggol, Kabupaten Bogor) menuju utara dan bermuara di Sungai Cibeet (Desa Pasirranji, Kecamatan Cibarusah, Kabupaten Bekasi. Sungai ini mempunyai banyak anak sungai sehingga panjang sungai keseluruhan (Sungai Cipamingkis dan anak-anak sungainya) \pm 541,88 km, dengan kerapatan sungai 1,88.



Gambar 1 Lokasi Penelitian
(Sumber :Google Earth, 2023)

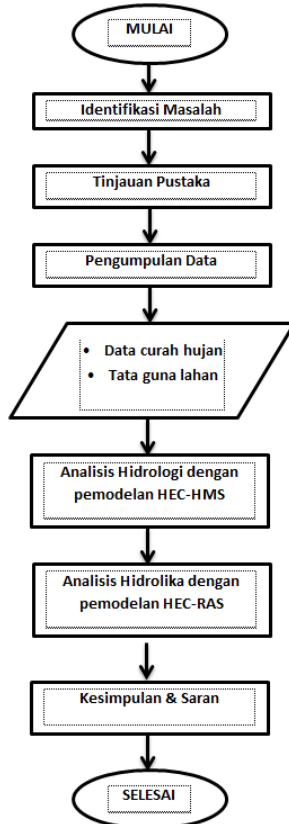
Pelaksanaan studi kajian neraca air di wilayah sungai Batu-linic dengan FJ.MOCK yang di validasi HEC-HMS dilakukan dalam beberapa tahap yaitu:

1. **Tahap pendahuluan** yaitu dengan mencari studi literatur yang terkait dengan penelitian ini, tahap pengumpulan data.
2. **Pengumpulan data** yang digunakan pada penelitian ini yaitu data sekunder. Data sekunder. Data yang diperoleh meliputin Peta administrasi, Peta DAS, Peta tata guna lahan, Data penduduk , Data curah hujan, Data klimatologi, Peta jenis tanah
3. **Pengolahan data**, dalam melakukan perhitungan pada studi ini diperlukan langkah-

langkah dalam pengolahan data. Pengolahan data meliputi beberapa tahapan yaitu:

- Peta Administrasi
- Peta Topografi
- Peta tata guna lahan
- Data curah hujan
- Dan data lainnya

B. Diagram Alir Penelitian



Gambar 2 Diagram Alur Penelitian.
 (Sumber : Penulis, 2023)

4. HASIL DAN PEMBAHASAN

A. Analisa Hidrologi

Dalam analisis dan pembahasan di Wilayah Sungai Cipamingkis ini terdapat 2 stasiun hujan terdekat, yaitu stasiun hujan cipamingkis dan Cibarusah. Dari data – data curah hujan harian ini, digunakan data harian yang paling tinggi setiap tahunnya. Tujuannya supaya analisa penanganan banjir ini dapat menyerupai kondisi di lapangan sebenarnya. Data curah hujan harian maksimum pertahun dilampirkan pada tabel.

Tabel 2 Rekapitulasi Data Curah Hujan Harian Maksimum

| No | Tahun | STASIUN CURAH HUJAN (mm) | |
|--------|-------|-----------------------------------|-------------------------|
| | | STASIUN HUJAN BENDUNG CIPAMINGKIS | STASIUN HUJAN CIBARUSAH |
| | | R1 | R2 |
| 1 | 2007 | 37 | 0 |
| 2 | 2008 | 82 | 0 |
| 3 | 2009 | 99 | 0 |
| 4 | 2010 | 119 | 0 |
| 5 | 2011 | 81 | 0 |
| 6 | 2012 | 82 | 0 |
| 7 | 2013 | 137 | 62 |
| 8 | 2014 | 100 | 97 |
| 9 | 2015 | 110 | 71 |
| 10 | 2016 | 120 | 135 |
| 11 | 2017 | 90 | 114 |
| 12 | 2018 | 160 | 90 |
| 13 | 2019 | 93 | 95 |
| 14 | 2020 | 150 | 200 |
| 15 | 2021 | 107 | 173 |
| Rerata | | 104 | 69 |

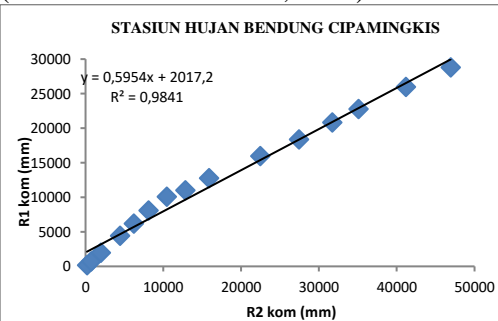
Sumber : Hasil Perhitungan

B. Uji Konsistensi Data

Tabel 3 Stasiun Hujan Bendung Cipamingkis

| Tahun | STASIUN HUJAN BENDUNG CIPAMINGKIS | | STASIUN SEKITARNYA | |
|-------|-----------------------------------|------------------------|--------------------|------------------------|
| | R1 (mm) | R1 _{Kom} (mm) | R2 (mm) | R2 _{Kom} (mm) |
| 2007 | 181,00 | 181,00 | 181,00 | 181,00 |
| 2008 | 555,00 | 736,00 | 555,00 | 736,00 |
| 2009 | 1231,00 | 1967,00 | 1231,00 | 1967,00 |
| 2010 | 2470,00 | 4437,00 | 2470,00 | 4437,00 |
| 2011 | 1785,00 | 6222,00 | 1785,00 | 6222,00 |
| 2012 | 1863,00 | 8085,00 | 1863,00 | 8085,00 |
| 2013 | 2029,71 | 10114,71 | 2375,71 | 10460,71 |
| 2014 | 891,50 | 11006,21 | 2374,50 | 12835,21 |
| 2015 | 1797,50 | 12803,71 | 3029,50 | 15864,71 |
| 2016 | 3166,00 | 15969,71 | 6599,00 | 22463,71 |
| 2017 | 2438,00 | 18407,71 | 4982,50 | 27446,21 |
| 2018 | 2440,00 | 20847,71 | 4259,00 | 31705,21 |
| 2019 | 1934,00 | 22781,71 | 3368,00 | 35073,21 |
| 2020 | 3218,10 | 25999,81 | 6114,10 | 41187,31 |
| 2021 | 2831,50 | 28831,31 | 5737,00 | 46924,31 |

(Sumber : Hasil Analisa, 2023)



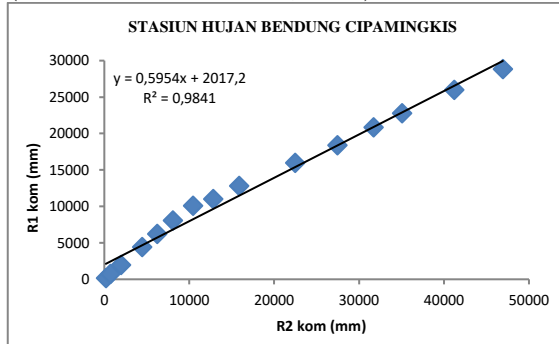
Gambar 3 Lengkung Massa Ganda Sta. Bendung Cipamingkis
 (Sumber : Hasil Analisa, 2023)

Tabel 4 Stasiun Hujan Bendung Cibarusah

| No | Tahun | Stasiun Hujan Cibarusah | | Stasiun Sekitarnya | |
|----|-------|-------------------------|------------------------|--------------------|------------------------|
| | | R1 (mm) | R1 _{Kom} (mm) | R2 (mm) | R2 _{Kom} (mm) |
| 1 | 2007 | 0,00 | 0,00 | 181,00 | 181,00 |

| | | | | | |
|----|------|---------|----------|---------|----------|
| 2 | 2008 | 0,00 | 0,00 | 555,00 | 736,00 |
| 3 | 2009 | 0,00 | 0,00 | 1231,00 | 1967,00 |
| 4 | 2010 | 0,00 | 0,00 | 2470,00 | 4437,00 |
| 5 | 2011 | 0,00 | 0,00 | 1785,00 | 6222,00 |
| 6 | 2012 | 0,00 | 0,00 | 1863,00 | 8085,00 |
| 7 | 2013 | 346,00 | 346,00 | 2375,71 | 10460,71 |
| 8 | 2014 | 1483,00 | 1829,00 | 2374,50 | 12835,21 |
| 9 | 2015 | 1232,00 | 3061,00 | 3029,50 | 15864,71 |
| 10 | 2016 | 3433,00 | 6494,00 | 6599,00 | 22463,71 |
| 11 | 2017 | 2544,50 | 9038,50 | 4982,50 | 27446,21 |
| 12 | 2018 | 1819,00 | 10857,50 | 4259,00 | 31705,21 |
| 13 | 2019 | 1434,00 | 12291,50 | 3368,00 | 35073,21 |
| 14 | 2020 | 2896,00 | 15187,50 | 6114,10 | 41187,31 |
| 15 | 2021 | 2905,50 | 18093,00 | 5737,00 | 46924,31 |

(Sumber : Hasil Analisa, 2023)

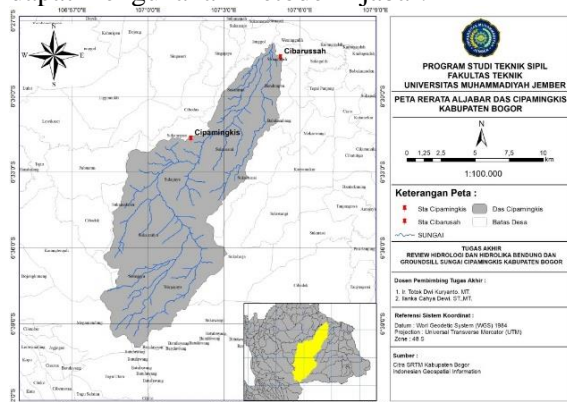


Gambar 4 Lengkung Massa Ganda Sta. Cibarusah

(Sumber : Hasil Analisa, 2023)

C. Analisa Curah Hujan

Dalam suatu kawasan biasanya terdapat dua atau lebih stasiun pengukuran hujan untuk mencatat data – data hujan, menghitung curah hujan maksimum rerata pertahun dari 2 stasiun, dapat menggunakan metode Aljabar.



Gambar 4.3 Metode Aljabar

(Sumber : ArcGis, 2022)

D. Analisa Frekuensi

Berikut merupakan langkah perhitungan dalam menentukan analisa distribusi frekuensi :

a) Harga Rata – Rata (*Mean*)

$$\bar{x} = \frac{1}{n} \sum_{i=1}^n R_i$$

$$\bar{x} = \frac{1}{15} \times 1.552 \\ = 103,467 \text{ mm}$$

b) Standart Deviasi

$$S = \left[\frac{1}{n-1} \sum_{i=1}^n (R_i - \bar{R})^2 \right]^{1/2}$$

$$S = \left[\frac{1}{15-1} \times 13898,73 \right]^{1/2}$$

$$= 31,508$$

c) Koefisien Kemencengan (*Skewness*)

$$Cs = \frac{n \sum_{i=1}^n (R_i - \bar{R})^3}{(n-1)(n-2)S^3}$$

$$= \frac{15 \times 114344,25}{(15-1)(15-2)31,508^3}$$

$$= 0,30$$

d) Koefisien Kurtosis

$$Ck = \frac{n(n+1)}{(n-1)(n-2)(n-3)} \times \frac{\sum_{i=1}^n (R_i - \bar{R})^4}{Sy^4} - \frac{3(n-1)^2}{(n-1)(n-3)}$$

$$= \frac{15(15+1)}{(15-1)(15-2)(15-3)} \times \frac{48806250,93}{31,508^4} -$$

$$\frac{3(15-1)^2}{(15-1)(15-3)} \\ = 1,673$$

Dari analisa distribusi frekuensi diperoleh hasil koefisien kemencengan (Cs) sebesar 0,30 dan hasil koefisien kurtosis (Ck) sebesar 1,673.

Table 5 Perhitungan Analisa Distribusi Frekuensi

| Tahun | R _i | P | (R _i - R̄) | (R _i - R̄) ² | (R _i - R̄) ³ | (R _i - R̄) ⁴ |
|-------|----------------|------|-----------------------|------------------------------------|------------------------------------|------------------------------------|
| 2007 | 37,0 | 6,3 | -66,5 | 4417,8 | -293637,6 | 1951711 |
| 2008 | 82,0 | 12,5 | -21,5 | 460,8 | -9892,2 | 212353,0 |
| 2009 | 99,0 | 18,8 | -4,5 | 20,0 | -89,1 | 398,0 |
| 2010 | 119,0 | 25,0 | 15,5 | 241,3 | 3748,0 | 58218,2 |
| 2011 | 81,0 | 31,3 | -22,5 | 504,8 | -11340,1 | 254773,7 |
| 2012 | 82,0 | 37,5 | -21,5 | 460,8 | -9892,2 | 212353,0 |
| 2013 | 99,5 | 43,8 | -4,0 | 15,7 | -62,4 | 247,6 |
| 2014 | 98,5 | 50,0 | -5,0 | 24,7 | -122,5 | 608,5 |
| 2015 | 90,5 | 56,3 | -13,0 | 168,1 | -2180,1 | 28269,2 |
| 2016 | 127,5 | 62,5 | 24,0 | 577,6 | 13881,7 | 333623,0 |
| 2017 | 102,0 | 68,8 | -1,5 | 2,2 | -3,2 | 4,6 |
| 2018 | 125,0 | 75,0 | 21,5 | 463,7 | 9984,7 | 215003,3 |
| 2019 | 94,0 | 81,3 | -9,5 | 89,6 | -848,4 | 8031,3 |
| 2020 | 175,0 | 87,5 | 71,5 | 5117,0 | 366037,3 | 0,9 |
| 2021 | 140,0 | 93,8 | 36,5 | 1334,7 | 48760,5 | 1781382,6 |

$$\text{STD.DEV} = 31,508 \\ Cs = 0,30 \\ Ck = 1,673 \\ Cv = 0,305$$

(Sumber : Hasil Analisa, 2023)

Sesuai dengan perhitungan diatas maka syarat yang memenuhi dari hasil perhitungan adalah jenis sebaran Log Pearson Type III. Berikut adalah cara menentukan hujan rancangan memakai metode distribusi Log Pearson Type III.

Table 6 Perhitungan CH Rancangan Metode Log Pearson Type III

| No | Tahun | X _i | Log X _i | Log X _i - Log X̄ | (Log X _i - Log X̄) ² |
|----|-------|----------------|--------------------|-----------------------------|--|
|----|-------|----------------|--------------------|-----------------------------|--|

| | | | | $\log X_{\text{rt}}$ | | |
|----------|------|------------|--------|----------------------|-------|--------|
| 1 | 2007 | 37,00 | 1,568 | -0,425 | 0,181 | -0,077 |
| 2 | 2008 | 82,00 | 1,914 | -0,079 | 0,006 | 0,000 |
| 3 | 2009 | 99,00 | 1,996 | 0,003 | 0,000 | 0,000 |
| 4 | 2010 | 119,00 | 2,076 | 0,082 | 0,007 | 0,001 |
| 5 | 2011 | 81,00 | 1,908 | -0,085 | 0,007 | -0,001 |
| 6 | 2012 | 82,00 | 1,914 | -0,079 | 0,006 | 0,000 |
| 7 | 2013 | 99,50 | 1,998 | 0,005 | 0,000 | 0,000 |
| 8 | 2014 | 98,50 | 1,993 | 0,000 | 0,000 | 0,000 |
| 9 | 2015 | 90,50 | 1,957 | -0,036 | 0,001 | 0,000 |
| 10 | 2016 | 127,50 | 2,106 | 0,112 | 0,013 | 0,001 |
| 11 | 2017 | 102,00 | 2,009 | 0,015 | 0,000 | 0,000 |
| 12 | 2018 | 125,00 | 2,097 | 0,104 | 0,011 | 0,001 |
| 13 | 2019 | 94,00 | 1,973 | -0,020 | 0,000 | 0,000 |
| 14 | 2020 | 175,00 | 2,243 | 0,250 | 0,062 | 0,016 |
| 15 | 2021 | 140,00 | 2,146 | 0,153 | 0,023 | 0,004 |
| $n = 15$ | | Jumlah | 29,897 | 0,000 | 0,318 | -0,056 |
| | | $\log X$ | 1,993 | | | |
| | | $S \log X$ | 0,151 | | | |

Sumber : Hasil Analisa, 2023

Berdasarkan hasil perhitungan pada tabel 6 maka nilai S dan Cs pada logaritma dapat dihitungan dengan cara :

1. Mencari nilai standart deviasi (S)

$$\begin{aligned} S &= \left[\frac{1}{n-1} \sum_{i=1}^n (\log R_i - \log R)^2 \right]^{1/2} \\ &= \left[\frac{1}{15-1} \times 0,318 \right]^{1/2} \\ &= 0,151 \end{aligned}$$

2. Mencari nilai koefisien skewness (Cs)

$$\begin{aligned} Cs &= \frac{n \sum_{i=1}^n (\log R_i - \log R)^3}{(n-1)(n-2)S^3} \\ &= \frac{15 \times 0,151}{(15-1)(15-2)0,151^3} \\ &= -1,3 \end{aligned}$$

Table 7 Probabilitas Hujan Dengan Distribusi Log Pearson Type III

| No | Periode Ulang | Log X _{rt} | K _t | S Log X | Log X _t | X _t |
|----|---------------|---------------------|----------------|---------|--------------------|----------------|
| 1 | 2 | 1,993 | 0,210 | 0,151 | 2,025 | 105,872 |
| 2 | 5 | 1,993 | 0,838 | 0,151 | 2,119 | 131,669 |
| 3 | 10 | 1,993 | 1,064 | 0,151 | 2,154 | 142,418 |
| 4 | 25 | 1,993 | 1,240 | 0,151 | 2,180 | 151,393 |
| 5 | 50 | 1,993 | 1,324 | 0,151 | 2,193 | 155,874 |
| 6 | 100 | 1,993 | 1,383 | 0,151 | 2,202 | 159,100 |

(Sumber : Hasil Analisa, 2023)

Hasil Perhitungan Hujan Rancangan Log Pearson Type III

• Untuk distribusi frekuensi periode 2 tahun

$$\begin{aligned} \text{Log } X_{\text{rt}} \text{ 2 tahun} &= \text{Log } X_{\text{rerata}} + (K_t \times S) \\ \text{Log } X_{\text{rt}} \text{ 2 tahun} &= 1,993 + (0,210 \times 0,151) \\ \text{Log } X_{\text{rt}} \text{ 2 tahun} &= 2,025 \\ X_{\text{rt}} \text{ 2 tahun} &= 105,872 \text{ mm} \end{aligned}$$

• Untuk distribusi frekuensi periode 5 tahun

$$\begin{aligned} \text{Log } X_{\text{rt}} \text{ 5 tahun} &= \text{Log } X_{\text{rerata}} + (K_t \times S) \\ \text{Log } X_{\text{rt}} \text{ 5 tahun} &= 1,993 + (0,838 \times 0,151) \end{aligned}$$

- $\text{Log } X_{\text{rt}} \text{ 5 tahun} = 2,119$
 $X_{\text{rt}} \text{ 5 tahun} = 131,669 \text{ mm}$
- Untuk distribusi frekuensi periode 10 tahun
 $\text{Log } X_{\text{rt}} \text{ 10 tahun} = \text{Log } X_{\text{rerata}} + (K_t \times S)$
 $\text{Log } X_{\text{rt}} \text{ 10 tahun} = 1,993 + (1,064 \times 0,151)$
 $\text{Log } X_{\text{rt}} \text{ 10 tahun} = 2,154$
 $X_{\text{rt}} \text{ 10 tahun} = 142,418 \text{ mm}$
- Untuk distribusi frekuensi periode 25 tahun
 $\text{Log } X_{\text{rt}} \text{ 25 tahun} = \text{Log } X_{\text{rerata}} + (K_t \times S)$
 $\text{Log } X_{\text{rt}} \text{ 25 tahun} = 1,993 + (1,240 \times 0,151)$
 $\text{Log } X_{\text{rt}} \text{ 25 tahun} = 2,180$
 $X_{\text{rt}} \text{ 25 tahun} = 151,393 \text{ mm}$
- Untuk distribusi frekuensi periode 50 tahun
 $\text{Log } X_{\text{rt}} \text{ 50 tahun} = \text{Log } X_{\text{rerata}} + (K_t \times S)$
 $\text{Log } X_{\text{rt}} \text{ 50 tahun} = 1,993 + (1,324 \times 0,151)$
 $\text{Log } X_{\text{rt}} \text{ 50 tahun} = 2,193$
 $X_{\text{rt}} \text{ 50 tahun} = 155,874 \text{ mm}$
- Untuk distribusi frekuensi periode 100 tahun
 $\text{Log } X_{\text{rt}} \text{ 100 tahun} = \text{Log } X_{\text{rerata}} + (K_t \times S)$
 $\text{Log } X_{\text{rt}} \text{ 100 tahun} = 1,993 + (1,383 \times 0,151)$
 $\text{Log } X_{\text{rt}} \text{ 100 tahun} = 2,202$
 $X_{\text{rt}} \text{ 100 tahun} = 159,100 \text{ mm}$

Dengan menghitung hujan rancangan memakai metode distribusi Log Pearson Type III di dapatkan hasil hujan rencana periode ulang 50 tahun sebesar 155,874 mm. Setelah menghitung curah hujan rancangan, langkah berikutnya ialah menentukan Uji Kesesuaian Distribusi yang berfungsi untuk perbandingan data observasi dengan data yang diandaikan untuk menguji hipotesis.

E. Uji Kesesuaian Distribusi

1. Uji Chi-Square

Langkah-langkah untuk melakukan perhitungan Uji Chi-Square sebagai berikut :

Menghitung Jumlah Kelas

Jumlah data = 15

$$\begin{aligned} K &= 1 + (3,22 \times \log n) \\ &= 1 + (3,22 \times \log 15) \\ &= 4,91 \end{aligned}$$

Menghitung Derajat Kebebasan (Dk) dan χ^2_{cr}
 Parameter (P) = 1 (nilai P jika menggunakan distribusi Log Pearson type III dan Gumbel adalah P=1 sedangkan untuk distribusi Normal dan Log Normal adalah P=2)

$$\begin{aligned} Dk &= K - (p + 1) \\ &= 4,91 - (1+1) \\ &= 2,91 = 3 \text{ (dibulatkan)} \end{aligned}$$

Nilai X^2_{cr} dengan jumlah data ($n = 15$, $a = 5\%$ dan $D_k = 3$ adalah 4,91)

- Presentase 20%
 $P_x = 0,2$ diperoleh $T = 1/P_x = 5$ tahun
 - Presentase 40%
 $P_x = 0,4$ diperoleh $T = 1/P_x = 2,5$ tahun
 - Presentase 60%
 $P_x = 0,6$ diperoleh $T = 1/P_x = 1,67$ tahun
 - Presentase 80%
 $P_x = 0,2$ diperoleh $T = 1/P_x = 1,25$ tahun
- Distribusi Probabilitas Log Pearson Type III
 Nilai KTr didapat berdasarkan nilai Cs dan nilai T untuk berbagai periode ulang
 $T = 5$ maka $KT = 0,856$
 $T = 2,5$ maka $KT = 0,253$
 $T = 1,67$ maka $KT = -0,269$
 $T = 1,25$ maka $KT = -0,780$

Didapat dari tabel variable reduce gauss dan menggunakan rumus interpolasi

Nilai $\log X_{rt} = 2$

Nilai $S \log X = 0,15$

Table 8 Uji Log Pearson Type III

| T | KT | Log X _{rt} | SlogX | Log XT | XT |
|------|--------|---------------------|-------|--------|--------|
| 5 | 0,856 | 2,0 | 0,151 | 2,12 | 132,49 |
| 2,5 | 0,253 | 2,0 | 0,151 | 2,03 | 107,46 |
| 1,67 | -0,269 | 2,0 | 0,151 | 1,95 | 89,65 |
| 1,25 | -0,780 | 2,0 | 0,151 | 1,88 | 75,07 |

(Sumber : Hasil Analisa, 2023)

Table 9 Perhitungan X Kritis

| Kelas | Interval | Ef | Of | $(Of-Ef)^2$ | $(Of-Ef)^2/Ef$ |
|--------|-----------------|----|----|-------------|----------------|
| 1 | > 132,49 | 3 | 2 | 1 | 0,3 |
| 2 | 132,49 - 107,46 | 3 | 3 | 0 | 0,0 |
| 3 | 107,46 - 89,65 | 3 | 6 | 9 | 27,0 |
| 4 | 89,65 - 75,07 | 3 | 3 | 0 | 0,0 |
| 5 | < 75,07 | 3 | 1 | 4 | 5,3 |
| Jumlah | | 15 | 15 | 14 | 32,7 |

(Sumber : Hasil Analisa, 2023)

2. Smirnov Kolmogorof

$D_{max} = 0,329$

Dari tabel kritis Smirnov-Kolmogorof di dapat

$D_{crit} 5\% = 0,388$

$D_{max} < D_{crit} 5\%$

$0,329 < 0,388$... Memenuhi !!!

Karena nilai D_{max} lebih kecil dari nilai D kritis ($0,329 < 0,388$), maka persamaan distribusi yang diperoleh diterima.

Tabel 10 Perhitungan Uji Distribusi Log Pearson Type III dengan Smirnov Kolmogorof

| Tahun | m | X_i (Besar \rightarrow Kecil) | Log X_i | $P(X_i)$ | f(t) | $P'(X_i)$ | ΔP |
|--------------|----|-----------------------------------|-----------|----------|-------|-----------|------------|
| 2007 | 1 | 175,00 | 2,24 | 0,07 | 0,92 | 0,021 | 0,046 |
| 2008 | 2 | 140,00 | 2,15 | 0,13 | 0,56 | 0,019 | 0,114 |
| 2009 | 3 | 125,00 | 2,10 | 0,20 | 0,37 | 0,020 | 0,180 |
| 2010 | 4 | 127,50 | 2,11 | 0,27 | 0,40 | 0,020 | 0,246 |
| 2011 | 5 | 102,00 | 2,01 | 0,33 | 0,04 | 0,021 | 0,312 |
| 2012 | 6 | 99,50 | 2,00 | 0,32 | 0,00 | 0,021 | 0,299 |
| 2013 | 7 | 98,50 | 1,99 | 0,31 | -0,02 | 0,021 | 0,289 |
| 2014 | 8 | 94,00 | 1,97 | 0,26 | -0,09 | 0,021 | 0,239 |
| 2015 | 9 | 90,50 | 1,96 | 0,27 | -0,15 | 0,021 | 0,249 |
| 2016 | 10 | 119,00 | 2,08 | 0,22 | 0,29 | 0,022 | 0,198 |
| 2017 | 11 | 99,00 | 2,00 | 0,34 | -0,01 | 0,021 | 0,319 |
| 2018 | 12 | 82,00 | 1,91 | 0,29 | -0,31 | 0,021 | 0,269 |
| 2019 | 13 | 82,00 | 1,91 | 0,35 | -0,31 | 0,021 | 0,329 |
| 2020 | 14 | 81,00 | 1,91 | 0,26 | -0,33 | 0,021 | 0,239 |
| 2021 | 15 | 37,00 | 1,57 | 0,27 | -1,61 | 0,021 | 0,249 |
| Jumlah | | 1552,00 | 29,90 | | | | |
| Log X rerata | | 2,00 | | | | | |
| CS | | 1,158 | | | | | |
| S LogX | | 0,27 | | | | | |
| Max | | | | | | | 0,329 |

(Sumber : Hasil Analisa, 2023)

F. Perhitungan Hidrograf Banjir

Dalam perhitungan debit banjir dianalisis menggunakan metode HSS Nayakasu. Metode HSS Nakayasu dibutuhkan beberapa karakteristik parameter alirannya sebagai berikut :

Diketahui :

$$A = 322,080 \text{ Km}^2$$

$$L = 59,33 \text{ km}$$

$$R_o = 1 \text{ mm}$$

$$c = 0,55$$

Sehingga :

Menentukan nilai waktu konsentrasi (T_g)

$$T_g = 0,21 L^{0,7}$$

$$= 0,21 (59,33)^{0,7}$$

$$= 3,6603 \text{ jam}$$

Mencari nilai satuan waktu dari curah hujan (T_r)

$$T_r = (0,5 - 1) \times T_g$$

$$= (0,5 - 1) \times 3,6603$$

$$= 1,83 \text{ jam}$$

Mencari nilai aplha (α)

$$\alpha = 0,47 \times (A \cdot L)^{0,25} / T_g$$

$$= 0,47 \times (322,080 \cdot 59,33)^{0,25} / 3,6603$$

$$= 1,51$$

Menentukan waktu awal mulai banjir hingga puncak hidrograf (T_p)

$$T_p = T_g + 0,8 \cdot T_r$$

$$= 3,6603 + (0,8 \cdot 1,83)$$

$$= 6,59 \text{ jam}$$

Menentukan waktu awal puncak banjir hingga 03 kali puncak banjir ($T_{0,3}$)

$$\begin{aligned} T0.3 &= \alpha \times T_g \\ &= 1,51 \times 3,6603 \\ &= 5,5260 \text{ jam} \end{aligned}$$

Mencari parameter debit banjir puncak (Q_p)

$$\begin{aligned} Q_p &= (c \times A \times R_o) / (3,6(0,3T_p + T0.3)) \\ &= (0,55 \times 322,080 \times 1) / (3,6(0,3 \cdot 6,59 + 5,526)) \\ &= 14,0128 \text{ m}^3/\text{dt} \end{aligned}$$

Tabel 11 Ordinat Hidrograf Satuan

| t (jam) | Q (m ³ /dt) | Keterangan |
|------------|---------------------------|--------------------------------------|
| 0.0 | 0.0000 | bagian lengkung naik Debit Puncak |
| 1.0 | 7.6566 | |
| 1.83 | 14.0128 | |
| 2.0 | 9.3931 | |
| 3.0 | 7.6904 | |
| 4.0 | 6.2964 | |
| 5.0 | 5.1550 | |
| 6.0 | 4.2206 | |
| 7.0 | 3.4555 | |
| 8.0 | 2.8291 | |
| 9.0 | 2.3163 | |
| 10.0 | 1.8964 | |
| 11.0 | 1.5527 | |
| 12.0 | 1.2712 | |
| 13.0 | 1.0408 | |
| 14.0 | 0.8521 | |
| 15.0 | 0.6977 | |
| 16.0 | 0.5712 | |
| 17.0 | 0.4677 | |
| 18.0 | 0.3829 | |
| 19.0 | 0.3135 | |
| 20.0 | 0.2567 | |
| 21.0 | 0.2101 | |
| 22.0 | 0.1720 | |
| 23.0 | 0.1409 | |
| 24.0 | 0.1153 | |
| 25.0 | 0.0944 | |
| 26.0 | 0.0773 | |
| 27.0 | 0.0633 | |
| 28.0 | 0.0518 | |
| 29.0 | 0.0424 | |
| 30.0 | 0.0347 | |
| 31.0 | 0.0284 | |
| 32.0 | 0.0233 | |
| 33.0 | 0.0191 | |
| 34.0 | 0.0156 | |
| 35.0 | 0.0128 | |
| 36.0 | 0.0105 | |
| 37.0 | 0.0086 | |
| 38.0 | 0.0070 | |
| 39.0 | 0.0057 | |
| 40.0 | 0.0047 | |
| 41.0 | 0.0038 | |
| 42.0 | 0.0032 | |
| 43.0 | 0.0026 | |
| 44.0 | 0.0021 | |

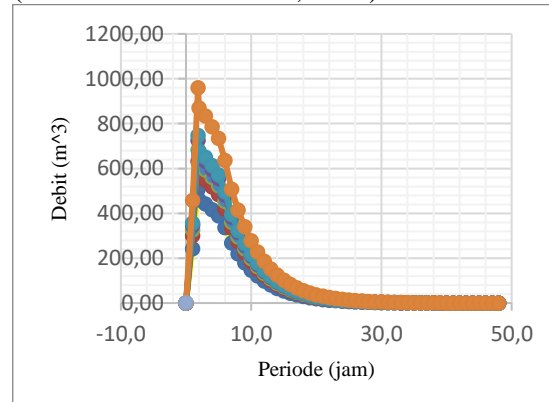
| t (jam) | Q (m ³ /dt) | Keterangan |
|------------|---------------------------|-------------------|
| 45.0 | 0.0017 | |
| 46.0 | 0.0014 | |
| 47.0 | 0.0012 | |
| 48.0 | 0.0009 | |
| 49.0 | 0.0008 | |
| 50.0 | 0.0006 | |
| 51.0 | 0.0005 | |
| 52.0 | 0.0004 | |
| 53.0 | 0.0003 | |
| 59.0 | 0.0188 | mendekati angka 0 |

(Sumber : Hasil Analisa, 2023)

Tabel 12 Rekapitulasi Ordinat Hidrograf Kala Ulang

| 2 TH | 5 TH | 10 TH | 25 TH | 50 TH | 100 TH |
|-------|-------|-------|-------|-------|--------|
| 508.1 | 632.0 | 683.5 | 726.6 | 748.1 | 959.9 |

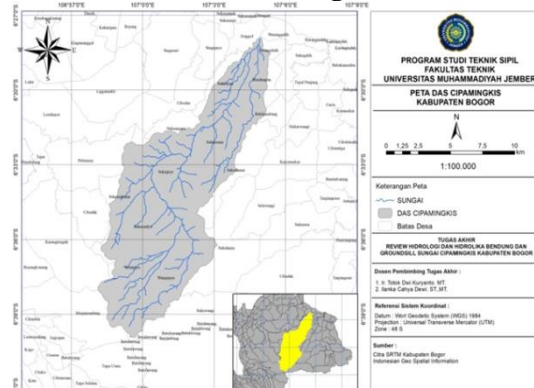
(Sumber : Hasil Analisa, 2023)



Gambar 5 Grafik Hidrograf HSS Nakayasu
 (Sumber : Hasil Pengolahan,2023)

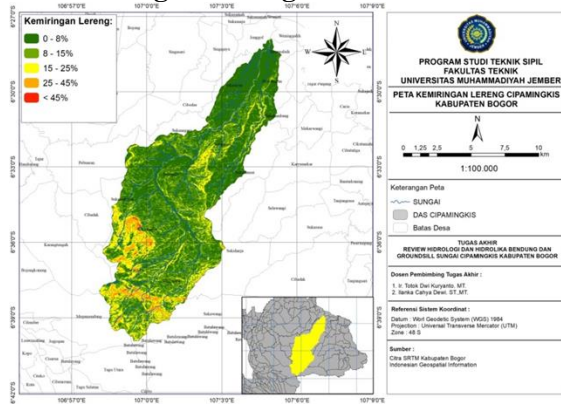
G. HEC HMS

1. Penentuan Aliran Sungai



Gambar 6 Tampilan Hasil Batas DAS dan Aliran Sungai Cipamingkis
 (Sumber : Pengolahan Aplikasi ArcGIS,2022)

2. Kemiringan Lereng



Gambar 7 Peta Kemiringan Lereng DAS Cipamingkis
 (Sumber : Pengolahan Aplikasi ArcGIS, 2022)

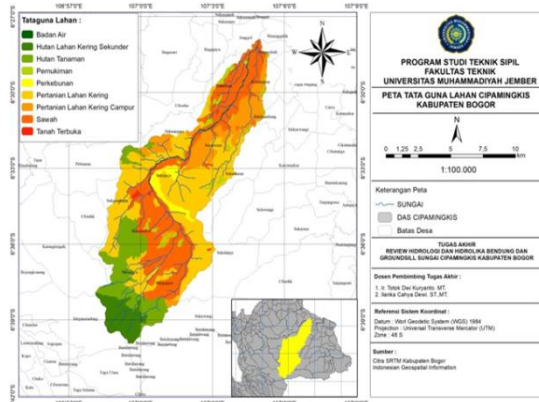
Dari klasifikasi kemiringan lereng tersebut, kemiringan lereng pada daerah aliran sungai Sampanahan dengan wilayah datar 0-8% memiliki persentase sebesar 50,11% dengan luas 63,56 km², wilayah landai 8-15% sebesar 32,47% dengan luas 41,18 km², wilayah agak curam 15-25% sebesar 13,19% dengan luas 16,73 km², wilayah curam 25-45% sebesar 4,06% dengan luas 5,15 km² dan wilayah sangat curam > 45% sebesar 0,17% dengan luas 0,22 km².

3. Penentuan Klasifikasi Tanah

Data jenis tanah yang didapatkan dari kementerian PUPR SDA Balai Besar WS Citarum terdiri dari 2 jenis tanah yaitu :

- Pasir halus Lempung Lanau campur Gravel Abu-abu
- Tuffa, Lempungan abu-abu tua padat

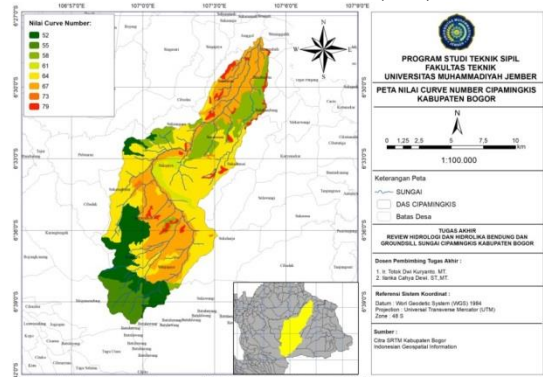
4. Tata Guna Lahan



Gambar 8 Peta Tata Guna Lahan DAS Cipamingkis

(Sumber : Hasil Pengolahan,2023)

5. Estimasi Nilai Parameter (CN)



Gambar 9 Peta Overlay Curve Number DAS Cipamingkis

Berdasarkan hasil overlay dari peta penggunaan lahan, jenis tanah dan kemiringan lereng pada gambar 4.9, daerah aliran sungai Cipamingkis memiliki nilai Curve Number (CN) berkisar 52 sampai 79.

Tabel 13 Nilai Curve Number DAS Cipamingkis.

| No | Tataguna Lahan | Luas Km ² A | CN | A X CN |
|----|-------------------------------|------------------------|-------|---------|
| 1 | Tanah Terbuka | 0.27 | 73 | 19.64 |
| 2 | Pertanian Lahan Kering | 42.69 | 55 | 2348.06 |
| 3 | Pertanian Lahan Kering Campur | 15.06 | 58 | 873.19 |
| 4 | Sawah | 37.09 | 67 | 2485.03 |
| 5 | Hutan Lahan Kering Sekunder | 7.53 | 55 | 414.04 |
| 6 | Hutan Tanaman | 16.60 | 49 | 813.50 |
| 7 | Perkebunan | 3.04 | 58 | 176.38 |
| 8 | Pemukiman | 3.53 | 76 | 268.20 |
| 9 | Badan Air | 0.93 | 55 | 51.04 |
| | Jumlah | 126.7 | 546.0 | 7449.1 |

(Sumber : Hasil Pengolahan,2023)

$$\text{CN Komposit} = \frac{(\Sigma A \times CN)}{\Sigma A}$$

$$= \frac{7449,1}{126,7}$$

$$= 58,78$$

6. Initial Abstraction

$$\begin{aligned} S &= "25400-254CN" / "CN" \\ &= "25400-254x 58,78" / "58,78" \\ &= 178,14 \\ Ia &= 0,2 \times S \\ &= 0,2 \times 178,14 \\ &= 35,63 \text{ mm} \end{aligned}$$

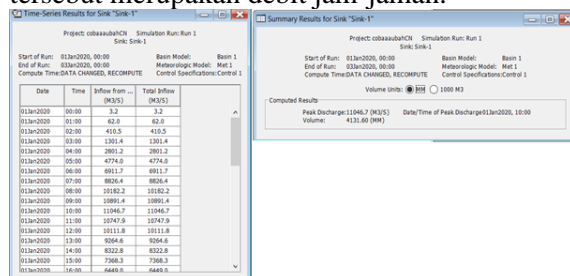
7. Time Lag

Perhitungan Time Lag (tlag) adalah sebagai berikut :

$$\begin{aligned}
 T_c &= 0,57 \times A_0,41 \\
 &= 0,57 \times 126,70,41 \\
 &= 4,150 \text{ jam} \\
 &= 249,01 \text{ menit} \\
 t_{lag} &= 0,6 \times T_c \\
 &= 0,6 \times 249,01 \\
 &= 149,40 \text{ menit}
 \end{aligned}$$

H. Pemodelan Hec-Hms

Run configuration untuk mengeksekusi pemodelan agar dapat berjalan. Hasil keluaran tersebut merupakan debit jam-jaman.



Gambar 10 Hasil Analisis Pemodelan HEC-HMS

(Sumber : Pengolahan HEC-HMS, 2022)

Diperoleh debit puncak hasil simulasi model pada periode 50 tahun sebesar 1110,40 m³/detik dan dengan waktu debit puncak terjadi pada jam 10:00.

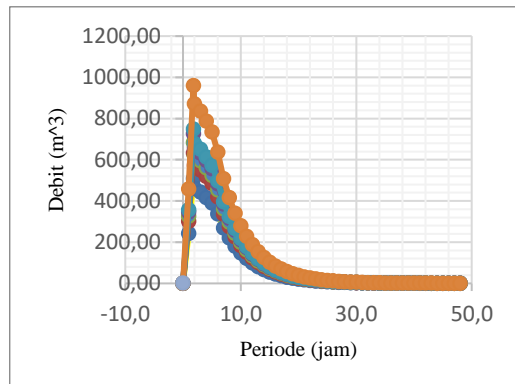
I. Debit Banjir Puncak

Dari hasil perhitungan debit banjir air dengan metode HSS Nakayasu dan pemodelan HEC-HMS yang telah dilakukan, didapatkan debit puncak pada daerah aliran sungai.

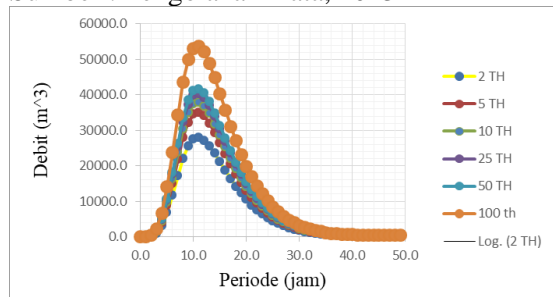
Tabel 14 Rekapitulasi Debit Banjir HSS Nakayasu dan Pemodelan HEC-HMS

| No | Periode Ulang | Peak Discharger (m ³ /s) | | | Time Of Peak | | |
|----|---------------|-------------------------------------|----------|---------|--------------|----------|---------|
| | | Tahun | Nakayasu | HEC-HMS | Selisih | Nakayasu | HEC-HMS |
| 1 | 2 | 508,140 | 625,40 | 117,26 | 05.27 | 10.00 | 04.33 |
| 2 | 5 | 631,953 | 761,50 | 129,55 | 05.27 | 10.00 | 04.33 |
| 3 | 10 | 683,543 | 831,40 | 147,86 | 05.27 | 10.00 | 04.33 |
| 4 | 25 | 726,618 | 958,90 | 232,28 | 05.27 | 10.00 | 04.33 |
| 5 | 50 | 748,123 | 1110,40 | 362,28 | 05.27 | 10.00 | 04.33 |
| 6 | 100 | 959,911 | 1165,50 | 205,59 | 05.27 | 10.00 | 04.33 |

(Sumber : Hasil Pengolahan,2023)



Gambar 15 Grafik Hidrograf HSS Nakayasu
 Sumber : Pengolahan Data, 2023

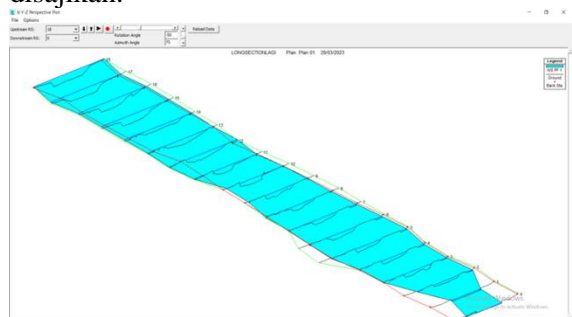


Gambar 16 Grafik Hidrograf HEC-HMS
 Sumber : Pengolahan Data, 2023

Diperoleh debit puncak pada periode kala ulang 50 tahun dengan metode HSS Nakayasu sebesar 748 m³/dt. Sedangkan debit puncak pada periode kala ulang 50 tahun dengan pemodelan HEC-HMS sebesar 1110,40 m³/dt.

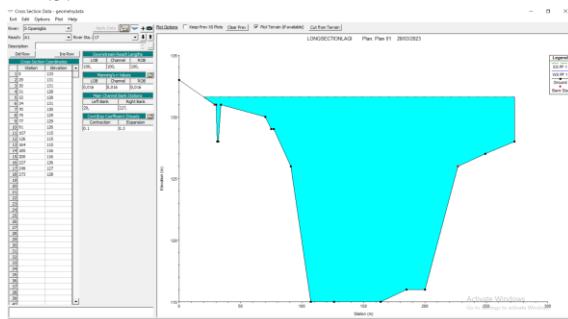
J. Analisa Hidrolik

Pada analisa ini menggunakan software HEC-RAS. yang mengalami limpasan diantaranya adalah River Sta 0, 1, 2, 3, 4, 5, 6, 7, 8, 9, 10, 11, 12, 13, 14, 15, 16, 17, dan 18. Adapun hasil dari analisa profil muka air Sungai Cipamingkis disajikan.



Gambar 17 Analisa Profil Muka Air Sungai Cipamingkis
 (Sumber : Program Aplikasi HEC-RAS,2022)

Diambil contoh pada River Sta 17 kondisi eksisting dengan hasil output program HEC-RAS.



Gambar 18 Analisa Kondisi Eksisting Pada Sta 17

(Sumber : Program Aplikasi *HEC-RAS*, 2022)
Tabel 16 Hasil Perhitungan Hidrolik Menggunakan *HEC-RAS* 5.0.7

| Profile Output Table - Standard Table 1 | | | | | | | | | | | | |
|---|-----------|---------|---------|-----------|-----------|-----------|-----------|------------|----------|-----------|-----------|--------------|
| Reach | River Sta | Profile | Q Total | Min Ch El | W.S. Elev | Crit W.S. | E.G. Elev | E.G. Slope | Vel Chnl | Flow Area | Top Width | Froude # Chl |
| | | | (m³/s) | (m) | (m) | (m) | (m) | (m/m) | (m/s) | (m²) | (m) | |
| A1 | 18 | PF 1 | 74.00 | 114.00 | 131.62 | 115.08 | 131.62 | 0.000000 | 0.03 | 2539.75 | 255.00 | 0.00 |
| A1 | 17 | PF 1 | 74.00 | 115.00 | 131.62 | 115.00 | 131.62 | 0.000000 | 0.03 | 2323.23 | 252.97 | 0.00 |
| A1 | 16 | PF 1 | 74.00 | 116.00 | 131.62 | 116.00 | 131.62 | 0.000000 | 0.03 | 2207.77 | 271.11 | 0.00 |
| A1 | 15 | PF 1 | 74.00 | 117.00 | 131.62 | 117.00 | 131.62 | 0.000000 | 0.03 | 2055.31 | 286.53 | 0.00 |
| A1 | 14 | PF 1 | 74.00 | 124.00 | 131.62 | 131.62 | 131.62 | 0.000000 | 0.07 | 1123.31 | 236.10 | 0.01 |
| A1 | 13 | PF 1 | 74.00 | 118.00 | 131.62 | 118.00 | 131.62 | 0.000000 | 0.05 | 1389.61 | 201.41 | 0.01 |
| A1 | 12 | PF 1 | 74.00 | 119.00 | 131.62 | 119.00 | 131.62 | 0.000000 | 0.06 | 1349.06 | 197.71 | 0.01 |
| A1 | 11 | PF 1 | 74.00 | 119.00 | 131.62 | 119.00 | 131.62 | 0.000000 | 0.08 | 895.11 | 177.54 | 0.01 |
| A1 | 10 | PF 1 | 74.00 | 120.00 | 131.62 | 120.00 | 131.62 | 0.000000 | 0.09 | 868.33 | 162.41 | 0.01 |
| A1 | 9 | PF 1 | 74.00 | 120.00 | 131.62 | 120.00 | 131.62 | 0.000000 | 0.10 | 769.65 | 110.43 | 0.01 |
| A1 | 8 | PF 1 | 74.00 | 121.00 | 131.62 | 121.00 | 131.62 | 0.000000 | 0.11 | 662.54 | 132.31 | 0.02 |
| A1 | 7 | PF 1 | 74.00 | 122.00 | 131.62 | 122.00 | 131.62 | 0.000000 | 0.12 | 565.57 | 152.57 | 0.02 |
| A1 | 6 | PF 1 | 74.00 | 122.00 | 131.62 | 122.00 | 131.62 | 0.000000 | 0.09 | 835.82 | 151.96 | 0.01 |
| A1 | 5 | PF 1 | 74.00 | 122.00 | 131.62 | 122.00 | 131.62 | 0.000000 | 0.10 | 709.87 | 149.11 | 0.02 |
| A1 | 4 | PF 1 | 74.00 | 123.00 | 131.62 | 123.00 | 131.62 | 0.000000 | 0.11 | 645.63 | 143.08 | 0.02 |
| A1 | 3 | PF 1 | 74.00 | 122.00 | 131.62 | 122.00 | 131.62 | 0.000000 | 0.10 | 721.19 | 151.29 | 0.02 |
| A1 | 2 | PF 1 | 74.00 | 125.00 | 131.62 | 125.00 | 131.62 | 0.000001 | 0.16 | 469.06 | 141.96 | 0.03 |
| A1 | 1 | PF 1 | 74.00 | 129.00 | 131.61 | 129.00 | 131.61 | 0.000006 | 0.27 | 271.98 | 105.09 | 0.05 |
| A1 | 0 | PF 1 | 74.00 | 131.00 | 131.40 | 131.40 | 131.60 | 0.003516 | 1.98 | 37.39 | 94.67 | 1.01 |

Sumber : Program Aplikasi *HEC-RAS*,2023.

5. PENUTUP

a. Kesimpulan

Dari hasil analisis data dan pembahasan hidrologi dan hidrolika maka dapat disimpulkan bahwa :

a. Hasil perhitungan debit banjir dengan metode HSS Nakayasu dan HEC-HMS jika dijadikan persentase dari 100% maka didapatkan debit banjir (Q) dengan metode HSS Nakayasu kala ulang 2 tahun, 5 tahun, 10 tahun, 25 tahun, 50 tahun berturut-turut adalah 19,7%, 15,8%, 14,6%, 13,8%, dan 13,4. Sedangkan debit banjir (Q) dengan pemodelan HEC-HMS kala ulang 2 tahun, 5 tahun, 10 tahun, 25 tahun dan 50 tahun berturut-turut adalah 16%, 13,1%, 12%, 104%, dan 9%.

b. Sesuai dengan hasil analisa kapasitas penampang hidrolika aliran Sungai Cipamingkis dengan bantuan *HEC-RAS* versi 5.0.7 diperoleh suatu hasil bahwa

ditemukan luapan banjir pada beberapa titik yaitu pada Sta. 18, 17, 16, 15, dan 14. Luapan banjir teparah terjadi pada Sta.18 yang mengalami limpasan dikedua sisi tebingnya dengan tebing kiri setinggi 2,62 m dan tebing kanan 3,62 m.

b. Saran

Adapun saran yang dapat dilakukan yaitu, perlu dilakukannya perbaikan tata guna lahan pada bagian hulu sungai supaya mengurangi debit yang mengalir di bagian hilir.

6. DAFTAR PUSTAKA

Permana, D. P. (2020). Kajian Ulang Control Stabilitas Groundsill Bendung Gerak Sungai Bengawan Solo di Kabupaten Bojonegoro. *De'Teksi-Jurnal Teknik Sipil Unigoro*, 5(1), 13-24.

Harjono, H., & Widhiastuti, Y. (2019). Analisa hidrologi dan hidrolika pada daerah aliran sungai (DAS) kali Pacal Bojonegoro. *Rekayasa Sipil*, 13(1), 16-23.

Suherlan, H. (2021). KAJIAN KERUSAKAN DAN KERUNTUHAN TUBUH BENDUNG AKIBAT PENGARUH BANJIR (STUDI KASUS: BENDUNG CIPAMINGKIS KAB. BOGOR). *TECHNO-SOCIO EKONOMIKA*, 14(2), 113-125.

Suhudi, S. T., & Dai Tukan, D. (2018). Perencanaan Groundsill di Hilir Bendung Waikomo Kabupaten Lembata-NTT. *Reka Buana: Jurnal Ilmiah Teknik Sipil dan Teknik Kimia*, 3(2), 87-97.

Wigati, R., & Soedarsono, S. (2016). KAJI ULANG BENDUNG TETAP CIPAAS (STUDI KASUS DESA BUNIHARA KECAMATAN ANYER). *Fondasi: Jurnal Teknik Sipil*, 5(2).

Rosandi, A., & Nurdyianto, N. (2020). Analisis Hidrologi dan Kinerja Bendung Ampera Kecamatan Jamblang Kabupaten Cirebon. *Jurnal Konstruksi dan Infrastruktur*, 7(1).

Riyadi, W. B., Bhakty, T. E., & Achmad, N. (2020). KAJIAN ULANG HIDROLOGI DAN

- HIDROLIKA BENDUNG NURWAHYUNI, F. D. (2018). Analisis
KAMIJORO. *RANCANG BANGUN TEKNIK* Sedimentasi pada DAS Kali Tanggul
SIPIL, 5(1), 7. Kabupaten Jember menggunakan Program HEC-RAS 4.1.
- Sebayang, I. S. D., & Andina, T. R. (2019). Perencanaan Dimensi Hidrologis Bangunan Pengendali Groundsill Pada Sungai Ulu Gadut, Sumatera Barat. *Jurnal Kajian Teknik Sipil*, 4(1), 1-9.
- Fitriyant, Z. (2019). ANALISIS HIDROLOGI UNTUK PENENTUAN DEBIT. *KURVA S: Jurnal Keilmuan dan Aplikasi Teknik Sipil*, 1(1), 793-805.
- Armila, A., Akbar, M. N., Latif, F., & Anas, A. B. T. (2021). SIMULASI KOMPUTASI DEBIT SUNGAI TAKALALLA (STUDI KASUS DUSUN TAKALALLA KAB. SINJAI). *TEKNIK HIDRO*, 14(2), 104-112.
- Kereh, I. E., Binilang, A., & Sumarauw, J. S. (2018). ANALISIS DEBIT BANJIR DAN TINGGI MUKA AIR SUNGAI PALAUS DI KELURAHAN LOWU I KABUPATEN MINAHASA TENGGARA. *JURNAL SIPIL STATIK*, 6(4).
- Sitanggang, G. E., Suprayogi, I., & Trimaijon, T. (2014). *Pemodelan Hujan Debit Pada Sub Daerah Aliran Sungai menggunakan Program bantu Hec-Hms (Studi Kasus Pada Kanal Duri)* (Doctoral dissertation, Riau University).
- Martiani, D. N., & Prayoto, M. J. P. (2020). Tutorial Program HEC-RAS Untuk Analisa Hidrologi Sistem Drainase.
- Rahmasary, A. N. Analisis Hidrologi Bendung Katulampa: Potensi Pengembangannya sebagai Bendungan Pengendali Banjir Jakarta.
- HAKIKI, A. N. *Pemodelan Hujan-Debit menggunakan Program HEC-HMS di Subdas Talang Kabupaten Jember* (Doctoral dissertation, FAKULTAS TEKNIK).
- PERMATA, J. C. PENANGANAN SEDIMENTASI PADA BENDUNG NGIPENG KABUPATEN TULUNGAGUNG MENGGUNAKAN GROUNDSILL.
- Hartini, E. (2017). Hidrologi & Hidrolik Terapan. *Universitas Dian Nuswantoro Semarang*.
- Ahmad, H. H., Yanuar, S. F., & Hamduwibawa, R. B. (2022). Studi Pengaruh Jenis Semen Pada Campuran Beton 1: 2: 3. *Jurnal Rekayasa Infrastruktur Hexagon*, 7(2), 74-77.
- Salim, N., Rizal, N. S., & Vihantara, R. (2018). Komposisi efektif batok kelapa sebagai karbon aktif untuk meningkatkan kualitas air tanah di kawasan perkotaan. *Media Komunikasi Teknik Sipil*, 24(1), 87-95.
- Priyono, P., & Rizal, N. S. (2013). Kajian potensi air tanah dengan metode geolistrik sebagai antisipasi kelangkaan air bersih wilayah perkotaan. *Jurnal Elevasi*, 4(18), 35-42.